

此即 Nernst eq，描述有關電與化學反應的關係。

式中 ϵ_0 稱為反應之自然電位，於25°C時所測得之值特稱為標準氧化（或還原）電位。

於25°C時(1)式可簡化如下：

$$t = 25^\circ\text{C} \text{, 則 } T = 273 + 25 = 298(\text{K})$$

$$R = 8.32 \text{ Joules/dg (氣體常數)}$$

$$F = 96,500 \text{ Coulombs (法拉第常數)}$$

$$\text{又 } \ln x = 2.303 \log x$$

∴由(1)式得

$$\epsilon_0 = \frac{0.059}{N} \log K_{eq}$$

根據上述之現象，金屬物質，因化學反應而產生自然電動勢 ϵ ，經過阻抗為 R 之物質（ R 可視為金屬體及電流流經物質所有阻抗之總和）所發生的電流電量 $I = \epsilon/R$ 。此電流所消耗的功為 $\bar{W} = I^2 R$ ，以熱的形式釋出，此熱量的大小為 $H = 0.24\bar{W} = 0.24I^2 R$ 。此消耗的能量，如未獲得額外的補充，將反使電動勢 ϵ 減弱，並緩慢了化學反應的進行，終至達於平衡狀態，其電動勢亦降至 ϵ_0 而保持穩定。這個現象即 Nernst 方程式的說明。

在化學反應進行中，如果所產生的熱量可迅速逸散，則金屬物質與外界環境之間仍維持原來的關係，而反應的自然電動勢 ϵ 值不致減弱。因此，消耗的能量即不能以反應平衡彌補，則該金屬的自由能繼續釋出以維持反應之繼續，表現於可觀察之現象，稱為「電解」或通稱為「金屬腐蝕」。

由於阻抗 R 未改變（實際上有極微小的變量），根據歐姆定律知電流(I)為穩定，此穩定的電流量使金屬的電解量亦必為一定值，且依時間累積。法拉弟定律(Faraday's law)即說明此一事實，其要點如下：

電解時，於電極上析出物質之量 m ，與所通入之電量 Q 成正比，即

$$m = ZQ \quad \text{式中 } Z = \frac{E}{F}$$

$$\text{又 } Q = It, \quad \text{故 } m = \frac{EIt}{F}$$

式中， Z 為一常數，稱為電化當量(electrochemical-equivalent)。

E 為化學當量。

F 為法拉第常數 ($F = 96,500$ 庫侖)。

t 為時間。

三、金屬腐蝕的種類

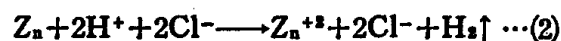
金屬腐蝕分類方式很多，如依觀察的情況予以分類大致可分為下述兩大類（依英國 L.L. Shreir)：

(一)電化學腐蝕

電化學作用，即包含電子移轉之化學作用，而且在化學平衡方程式中同時有氧化及還原作用發生。



將上式中之 HCl 和 ZnCl_2 離子化，因此(1)式可重寫為離子反應式如下：



由(2)式中可明顯看出 Cl^- 離子並未參與腐蝕作用，因此可將之省略，簡化為



由(3)式得知， Zn 被氧化成 Zn^{+2} 離子或 Zn 的原子價因作用而增加，成為+2價與其同時 H^+ 離子被還原（原子價減少）成為氫氣。

上述之反應可明白看出具有電子移轉的現象，這種作用產生的腐蝕，即為電化學作用腐蝕。又依其腐蝕環境可分為下述兩種形式：

1.乾蝕（高溫氧化，氮化等）

金屬與環境反應的效果，依攻擊於金屬表面的特性及其反應產物而有不同的形式。如於很低溫度下把鋼加熱，增加氧化速率，產生氧化膜，並逐漸增厚，如繼續加熱經過一夠長的時間，則金屬逐漸損耗並產生磁性氧化鐵(Fe_3O_4)的較厚薄膜(Scaling)。這類的腐蝕，稱為乾蝕，其反應又分下述兩種形式：

(1)金屬／氣體間或金屬／蒸氣間的反應：

金屬面上由於氧化膜產生，則金屬氧化膜界面陽極化，氧化膜及外部氧元素界面陰極化，即有電流流通的反應發生。

(2)金屬／液體間的反應：

例如高溫水蒸氣與金屬的反應，產生均勻的皮膜。

2.濕蝕

在自然常溫條件下，諸如潮濕空氣中，地下，河流或海水中，金屬的陽離子，猶如荷電

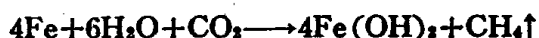
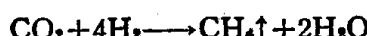
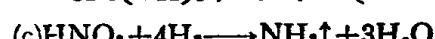
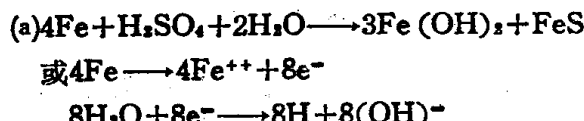
埋設於土壤中金屬體附近有雜散漂游電流時，（漂游電流之來源，可為附近埋設物施用電氣防蝕之電流，電氣化車輛路軌之排流迴路，工廠因使用動力接地方式不良所洩漏的電流等），因金屬體較附近其他物體之導電性高，則漂游電流被收斂於金屬體，並由金屬體上某點流出於電解質（土壤或水中）則金屬上之排流點相對成為陽極而遭受腐蝕，其程度可依法拉弟電解律估量之。

四、細菌產生的腐蝕：

土壤中細菌的繁衍，影響金屬發生腐蝕的情形，較為複雜，但可大致分為：

- (1) 有機微生物的存在，可影響金屬陽極或陰極的反應。
- (2) 有機微生物在新陳代謝過程中，或其產物，改變了金屬表面皮膜的阻抗。
- (3) 有機微生物的存在，可製造腐蝕的環境。
- (4) 有機微生物於成長及分裂時所建立的壁障（Barrier）使金屬表面形成電解質濃淡電池（Electrolytic-Concentration Cell）一般具有腐蝕性的細菌有硫酸鹽還原細菌、硝酸鹽還原細菌、甲烷醣酵細菌及鐵細菌、硫黃氧化細菌等。前三者屬厭氣性（不通氣性），後二者則屬好氣性細菌，其中對土壤腐蝕關係較為深切者為硫酸鹽還原細菌。

通常細菌在土壤中對鋼鐵類物品侵蝕的程序有下列三種方式，（在多數情況下，能發生孔蝕）：



$$5.2 \leq \text{pH} \leq 8.7$$

硫酸鹽還原細菌（侵襲方式如上述之(a)及(b)），廣佈於自然界之土壤中，尤其在河川、海、湖等之底層最為常見。如以上土質區分，粘土質中最多。海水底層之土壤為砂地或岩盤時，其存在較少或近乎無。

前述各種細菌，一般皆棲息於 pH 值 5—8.6 溫度為 30~50°C 間之土壤中。當 pH 值為 6.5~7.2 時較為活動，而以在鈉鹽濃度為 3% 時活動最烈。

七、土壤性質對鋼鐵腐蝕的影響

土壤的成分，含有空氣、水分、鈉、鉀、矽、鈣、鎂及各種鹽類各種微生物等，性質極為複雜。一般而言，凡通氣性不良的土壤，溫度、電導係數、含鹽量、水分等皆較高，而具有較強的腐蝕性，且因更適於硫酸還原細菌之滋長而增強腐蝕性。

如以較具體的物理、化學性言，對鐵鋼的腐蝕性大致如下：

(1) 土壤比電阻係數 (Resistivity of Soil) 對裸露鋼管之腐蝕性，(詳附表一)由表中可看出，各家意見並不完全一致，但 2,000 Ω-CM 以下比電阻係數的土壤，具有強烈的腐蝕性則為所共認。

附表一

腐蝕程度	土壤電阻系數值 ρ ($\Omega\text{-CM}$)			
	(1) F. O. Waters	(2) L. M. Applegate	(3) V. A. Pritula	(4) E. R. Shepard
極 激 烈	0~ 900	0~ 1,000	0~ 500	0~ 500
激 烈	900~ 2,300	1,000~ 5,000	500~ 1,000	500~ 1,000
中 程 度	2,300~ 5,000	5,000~10,000	1,000~ 2,000	
輕 程 度	5,000~10,000	10^4 ~ 10^5	2,000~10,000	難以決定
不 明 顯	>10,000	> 10^5	>10,000	

(二)土壤自然電位之腐蝕性：

量測土壤標本的氧化還原 (Redox-Potential) 電位，亦可做為腐蝕程度判斷的依據：
(詳附表二)

附表二

腐蝕程度	土壤之氧化還原電位 Eh(mv)
激烈	<100
中等程度	100 ~ 200
輕微	200 ~ 400
不明顯	>400

如使用mv-meter量測時，應以下列公式換算：

$$E_h = E_p + E_r + E_{PH}$$

式中 E_h ：土壤之氧化還原電位。

E_p ：以 mv-meter 直接量測之讀數。

E_r ：247mv (以飽和甘汞電極基準量測，換算成氫電極基準量測值時之差)。

E_{PH} ：酸鹼度修正電位，PH7為基準，每增減1PH值則增減60mv。

(三)土壤之 PH 值與鋼鐵對土壤之自然電位所發生的腐蝕關係如下述之 Pourbaix 圖：由圖可看出，鋼鐵對土壤之自然電位約在 -0.774mv 以下時 (飽和甘汞電極為基準量測)，成為不活性態沒有腐蝕的現象。

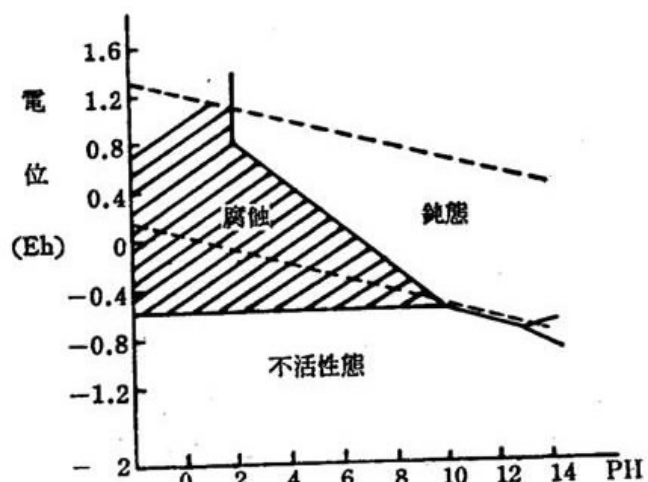
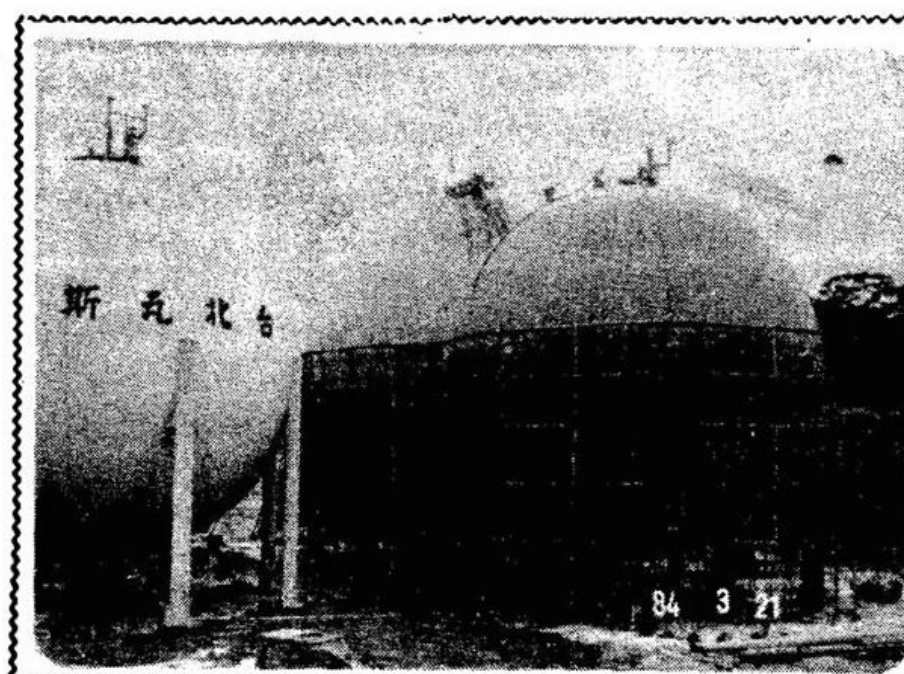


圖 3 鐵的 Pourbaix Diagram

- 參考資料：
1. 中川公司，技術資料：金屬腐蝕與陰極保護。
 2. H. H. Uhlig, "Corrosion handbook" New-York, John-Wiley.
 3. 「電蝕，土壤腐食手冊」，日本防蝕協會編撰。
 4. 中川雅央「電氣防蝕法實際」。
 5. NACE Basic Corrosion Course.

作 者：任職工量企業公司



封面說明：

台北瓦斯成功基地瓦斯槽，座落在台北市內湖區成功路段公館山下，四面環繞着青山，圓圓的槽體披着美麗的塗裝，翠綠映然，使人悅目欣怡，目前該公司有21萬2仟多戶的用戶，瓦斯供應量日達60萬立方公尺，為台北市供應清潔廉價方便的瓦斯，該瓦斯槽正在運用操作中，充分發揮貯存及供應的功能。